

بھینه سازی شرایط تهیه مادہ منجرہ CL-20

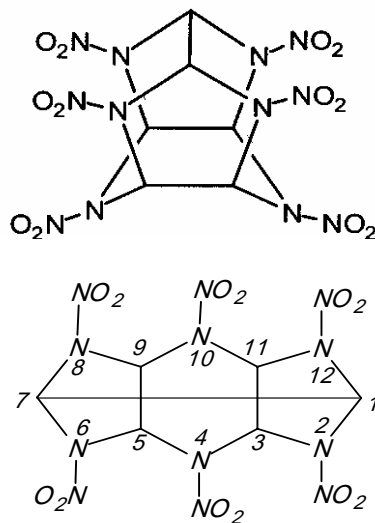
^{*}یداله بیات، فاطمه ایرشمنی و حسین دهقانی

تهران - دانشگاه صنعتی مالک اشتر

چکیده

پایی نیترامین قفسی CL-20، قوی ترین ماده منفجره ساخته شده است که نسبت به مواد منفجره متعارف دانسیته، فشار و سرعت انفجار، گرمای تشکیل، عمق نفوذ و عملکرد بالاتری دارد. روش های سنتز مختلفی، بدون ذکر جزئیات، برای آن گزارش شده است که در این مقاله ضمن مرور خواص انفجاری و روش های مختلف سنتز CL-20، مناسب ترین روش انتخاب، نکات مبهم و جزئیات روش آشکار و بهینه شده است. همچنین ضمن بهینه سازی پارامترهای مختلف نظری حلal مناسب کریستالیزاسیون CL-20 (اتیل استات- هپتان) و حد واسطه های آن (برای HBIW حلال اتیل استات)، دمای واکنش (در تبدیل HBIW به TADB) به ۳۱-۴۲°C و نوع کا تالیزگر (Pd/C ۵ درصد مرطوب)، مخلوط نیتراسیون جدیدی (نیتریک اسید- سولفوریک اسید) با نسبت ۱:۱ برای رسیدن به بهره مناسب ارائه شده است.

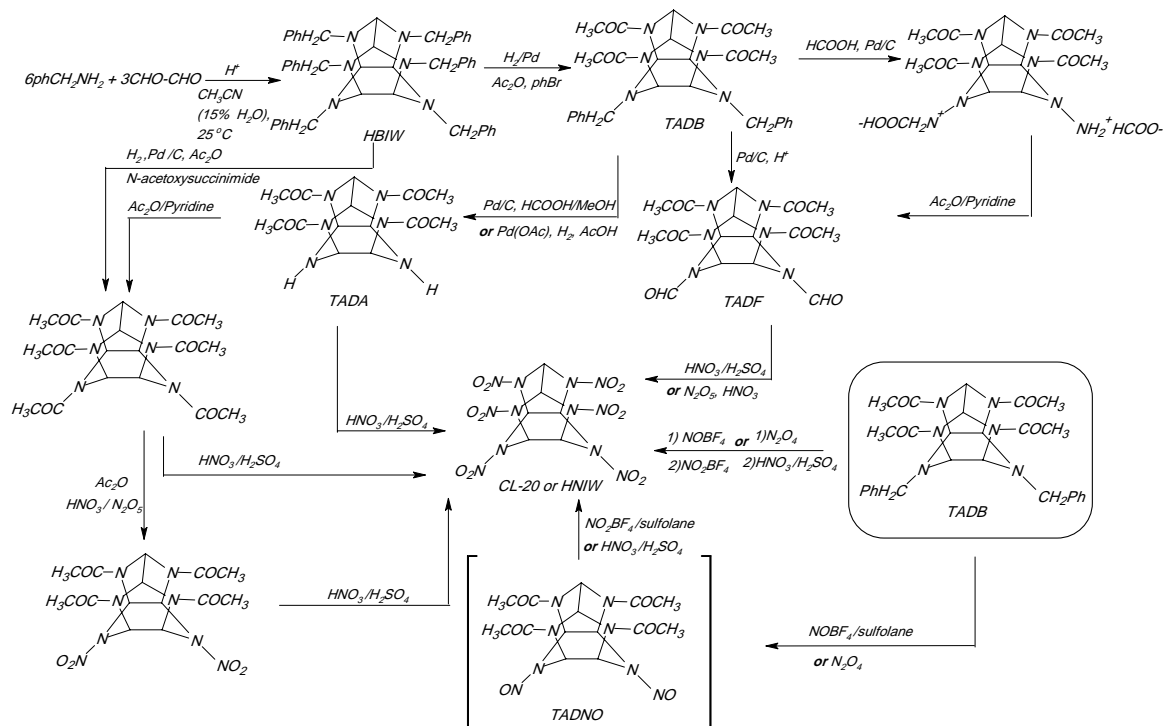
واژه‌های کلیدی: ترکیبات پرانرژی، نیترآمین‌های حلقوی، هگزانیتروهگزا آزایزوورتیتان (CL-20)، نیتراسیون



CL-20 ساختار

۱. مقدمه

* E-mail: s_pajohesh@yahoo.com



شکل ۲- نمایی از روش‌های سنتز CL-20 [۲-۵]

حساسیت کمتر، برای مصارف نظامی مناسب‌تر است. معمولاً روش‌های تولید

این ترکیب شکل بلوری α را تولید می‌کند که باید به شکل ϵ تبدیل گردد.

شکل α دارای بلورهای با حفره خالی در وسط و به شکل ارتورومبیک

می‌باشد و درون این حفره‌ها مولکول آب می‌تواند قرار گیرد.

این بلورها به صورت خشک دانسیته $1/961 \text{ g/cm}^3$ دارند. بلورهای سوزنی

شکل β از کریستالیزاسیون در حلal بنزن بدست می‌آیند و دانسیته آنها

$1/985 \text{ g/cm}^3$ می‌باشد. با حرارت دادن این شکل میان دو صفحه نازک

شیشه‌ای (زیر میکروسکوپ) شکل γ با دانسیته $1/916 \text{ g/cm}^3$ حاصل

می‌شود. دمای این تبدیل $C^\circ = 185$ می‌باشد. با ادامه دادن حرارت تا بالای

دمای مذکور شکل ϵ بدست می‌آید (دمای انتقال $C^\circ = 230$). این شکل

بلوری دارای دانسیته $2/044 \text{ g/cm}^3$ است. بنابراین ترتیب دانسیته شکل‌های

بلورین مختلف CL-20 به صورت $\text{CL-20} < \beta < \gamma < \alpha < \epsilon$ بوده و ترتیب پایداری

حرارتی آنها به صورت $\beta > \alpha > \gamma > \epsilon$ می‌باشد. شکل‌های بلوری CL-20 با

روش‌های اسپکتروسکوپی UV, IR و XRD قابل تشخیص هستند [۶].

سنتز این ترکیب اولین بار توسط نیلسن^۱ در سال ۱۹۹۰ گزارش گردید [۱].

CL-20 قویترین ترکیب انفجاری است که در حال حاضر توسط شرکت

آمریکایی تیوکل^۲ و SNPA فرانسه در دو مقیاس درشت (μ) و ریز

(μ) تولید می‌شود [۲]. بررسی منابع علمی شامل ثبت اختراع‌ها، متون

شیمی، استانداردهای نظامی، چکیده‌های شیمی و مقالات نشان می‌دهد که

هشت روش بدون ذکر جزئیات برای سنتز CL-20 گزارش شده که در شکل

۲ آمده است [۳-۵].

ساختار قفسی CL-20 موجب ایجاد سه پارامتر مثبت در آن می‌گردد که

عبارتند از:

۱- دانسیته بالا، بدلیل فشرده بودن ساختار قفسی

۲- گرمای تشکیل بالا، بدلیل چند حلقه‌ای بودن و فشار حلقه

۳- پایداری حرارتی خوب

CL-20 دارای چهار شکل بلوری (α , β , γ و ϵ) است. شکل‌های بلورین

حساسیت و دانسیته متفاوتی دارند. شکل ϵ بدلیل داشتن دانسیته بیشتر و

1- Nielsen

2- Thiokol

جدول ۱- مقایسه خواص فیزیکی و انفجاری CL-20 و HMX

HMX	CL-20	
C ₄ H ₈ N ₈ O ₈	C ₆ H ₆ N ₁₂ O ₁₂	فرمول مولکولی
۲۹۶/۲	۴۳۸/۲	جرم مولکولی
-۲۱/۶	-۱۱	توازن اکسیژن (%)
۳۷/۸۳	۳۸/۴۶	درصد نیتروژن
۹۱۰۰	۹۳۸۰	سرعت انفجار (m/s)
۳۹۰	۴۲۸	فشار انفجار (kbar)
-۶۰/۵	۲۲۸	گرمای تشکیل (cal/g)
۲۷۵	۲۶۰	نقطه ذوب (°C)
۱/۹۰(β) ۲/۰۴۴(ε)	۱/۹۸(β) ۲/۰۴۴(ε)	دانسیته (g/cm ³)
۳۰	۱۷-۲۱(ε)	حساسیت به ضربه (H ₅₀ kg)

CL-20 با داشتن شش گروه N-NO₂ بیشترین دانسیته را در بین ترکیبات آلی (به استثنای الماس و فولرنها) دارد. فشار و سرعت انفجار بالاتری از HMX داشته و پرانرژی تر از آن می‌باشد. در حالهای پروتیک مانند آب پایدار بوده و در محلول نیتریک اسید قابل نوبولور کردن است. این ترکیب بدیل پرانرژی بودن، هنگام سوختن و تجزیه شدن انرژی زیادی آزاد می‌کند و کاندیدای مناسبی برای افزایش بهره عملکرد موشکها، راکتها و مواد منفجره می‌باشد. استفاده از آن در سوختها و مواد منفجره ترکیبی (نظیر PBXها) موجب افزایش ضربه ویژه، سرعت سوختن و خواص انفجاری و بالستیکی خواهد شد [۷].

۱- مقایسه خواص فیزیکی و انفجاری CL-20 و HMX

از آنجایی که HMX در صنایع مختلف نظامی کاربرد بسیاری دارد، جایگزینی آن با CL-20 که حدود ۱۷-۱۴ درصد انرژی بالاتری از آن دارد می‌تواند در افزایش عملکرد موشکها، راکتها و مواد منفجره نقش بسزایی داشته باشد. مقایسه خواص فیزیکی و انفجاری CL-20 و HMX در جدول ۱ آمده است [۸].

جدول ۱ آمده است [۸].

۳-۱- کاربردهای CL-20

از آنجایی که پیشرانه‌ها و مواد منفجره سیستم‌های آزادکننده انرژی در مهام می‌باشند، گسترش و توسعه تکنولوژی این مواد بر روی بالا بردن توان مهمات و اصلاح برد موشکها منمر کر شده است. CL-20 چگالترین و قوی‌ترین ماده پرانرژی شناخته شده است که دارای سرعت انفجار بالا مانند RDX و HMX می‌باشد. این دسته از ترکیبات بدیل ضربه ویژه بالا جایگزین مناسبی برای آمونیوم پرکلرات در پیشرانه‌ها برای موشک‌های نسل آینده و مأموریت‌های فضایی بوده و وارد کردن آن در انواع مهمات نظامی موجب افزایش قابل توجه عملکرد آنها می‌گردد. از جمله کاربردهای این ماده منفجره می‌توان به استفاده از آن در بهبود خواص مخلوط C4 [۱۲]، تهیه M829A2 با روتو دورای JA2 برای استفاده در تانک‌های M829A1 و M829A2 [۱۳]، ساخت چاشنی‌های انفجاری سیمی (Hot wire detonator) [۱۴]، به عنوان اکسیدکننده کمکی در پیشرانه‌های کامپوزیتی اصلاح شده دورایه در ساخت پیروتکنیک‌های مولد گاز [۱۵]، در تهیه مواد منفجره پلاستیکی مانند PAX-29، PATHX-3، LX-19 و LX-29 که خواص آنها در جدول ۲ با LX-14 مقایسه شده است و ... اشاره کرد.

۲-۱- کریستالیزاسیون و دانه‌بندی CL-20

هدف از مرحله کریستالیزاسیون خالص‌سازی، تنظیم دانه‌بندی و بدست آوردن شکل بلوری ۴ می‌باشد. چون این شکل بالاترین دانسیته و کمترین حساسیت را دارد. از بین روش‌های مختلف روشی که بیشترین ناخالصی اسیدی را از بلورها بزداید، همچنین موجب کاهش نقص بلور شده و مانع تشکیل بلورهای لبه تیز گردد، مناسب‌تر است.

حالیت CL-20 در حلالهای کربونیل دار نظیر کتون‌ها، استرها و آمیدها خوب، در الکل‌ها، اترها و نیتروآلکان‌ها کم و در هیدروکربن‌ها، هیدروکربن‌های هالوژن‌دار و آب ناچیز (نامحلول) می‌باشد. بررسی‌ها نشان می‌دهد که حلایت CL-20-۴ در استون و اتیل استات به دما بستگی ندارد. بنابراین کریستالیزاسیون سرمایشی CL-20 در این دو حلال انجام نمی‌شود. با توجه به حلایت زیاد آن کریستالیزاسیون به روش حلال-ضدحلال [۱۰] و [۹] و کریستالیزاسیون حلال-ضدحلال تبخیری [۱۱] برای این ترکیب مناسب می‌باشد. روش اول نسبت به روش دوم ترجیح داده می‌شود چون در دمای کمتری انجام شده و اینمی بیشتری دارد. همچنین انتقال شکل بلوری ۴ به ۷ انجام نمی‌شود [۱۰].

جدول ۲- مقایسه خواص برخی از PBX های پایه CL-20 با LX-14

LX-14	LX-19	PAX-29	PATHX-3	
%۹۵/۵ HMX %۴/۵ استان	%۹۵/۵ CL-20 %۴/۵ استان	%۱۵Al %۷۷CL-20 %۳/۲CAB ^a %۴/۸BDNPA/F ^b	%۹۴CL-20 %۶ استان	اجزاء تشکیل دهنده
۱/۸۳۵	۱/۹۵۹	۲/۰۰۲	۱/۹۵۸	دانسیته (g/cm ³)
۳۴/۴	۴۱/۸	۳۸/۳	۴۲/۱	فشار چمن - ژوگت (GPa)
۸/۸۰	۹/۴۴	۸/۷۷	۹/۵۰	سرعت انبار (km/s)
۸/۵۹	۹/۹۸	۱۱/۰۴	۱۰/۷	انرژی ابساط سیلندر @ V/V _۰ =۶/۵ (kJ/cm ³)
۱۷	۳/۵-۱۱	۲۶	۱۱-۲۶	حساسیت به ضربه ABL (cm)
۴۲۰	۳۷۰	۳۲۰	۴۲۰	حساسیت به اصطکاک (psi) @ ۸ فوت بر ثانیه
۲۰۰	۲۶۰	۱۳۵	۱۹۰	آزمون گپ (تعداد کارت‌ها)

^a: CAB: سلولز استات بوتیرات^b: بیس دی‌نیتروپروپیل فرمال / استال

۲-۱-۱- سنتز HBIW در حلال استونیتریل

۳/۶ گرم محلول آبی گلیاکسال ۴۰ درصد وزنی (۰/۰۲۵ مول) به محلولی از ۵/۹ گرم بنزیل‌آمین (۰/۰۵۵ مول)، ۵ میلی‌لیتر آب و ۰/۳۰ گرم فرمیک اسید ۸۸ درصد در ۵ میلی‌لیتر استونیتریل در دمای زیر ۲۰ °C قطره قطره اضافه گردید. مخلوط واکنش یک شباهه روز در دمای محیط هم زده شد و سپس صاف و با استونیتریل سرد شستشو داده شد. پس از خشک کردن رسوب حاصل در مجاورت هوا، ۴/۲ گرم محصول سفیدرنگ HBIW با بهره ۷۱/۷ درصد و نقطه ذوب ۱۴۹/۴-۱۵۳/۲ °C بدست آمد.

۲-۱-۲- سنتز HBIW در حلال اتانول

مقادیر مواد اولیه و شرایط عمل همانند روش سنتز در حلال استونیتریل می‌باشد با این تفاوت که بجای استونیتریل از حلال اتانول استفاده شد. در این فرآیند پس از خشک کردن رسوب، ۳/۴ گرم محصول HBIW با بهره ۵۸/۰ درصد بدست آمد.

۲-۱-۳- سنتز HBIW در حلال تتراهیدروفوران

مقادیر مواد اولیه و شرایط عمل همانند روش سنتز در حلال استونیتریل می‌باشد با این تفاوت که بجای استونیتریل از حلال THF استفاده شد. پس

طیف‌های FT-IR با دستگاه Shimadzu FT-IR 4300، طیف‌های ¹H-NMR با دستگاه Bruker AVANCE DRX 500MHz، نتایج DSC با دستگاه 910S Differential Scanning Calorimeter نتایج آنالیز HPLC با دستگاه Waters ثبت شده‌اند. آنالیز جرمی با دستگاه Shimadzu MS-QP 1100EX مدل Gc گرفته شده است. آنالیز عنصری نیز با دستگاه RAPID Heareus CHN-O- ثبت شده است. تصویر بلورهای CL-20 با میکروسکوپ الکترونی مدل SR-50 با بزرگنمایی ۶۰۰ ثبت شده است. نقطه ذوب ترکیبات در لوله موبین سرباز با دستگاه Gallenkamp اندازه‌گیری شده و بدون تصحیح گزارش شده است.

-۱-۲- سنتز ۲،۴،۶،۸،۱۰،۱۲- هگزابنзیل -۱۲،۱۰،۸،۶،۴،۲

هگزا آزاتراسیکلو [۵,۵,۰,۰,۰] دودکان (HBIW)

هگزا بنزیل هگزا آزایزوورتیتان از تراکم گلی اکسال و بنزیل آمین تهیی می‌شود. این واکنش در سه حلال استونیتریل، اتانول و تتراهیدروفوران انجام و نتایج آن در زیر آمده است.

۲-۴-۱-۲- خالص سازی HBIW در مخلوط کلروفرم و متانول (روش**حلال - ضدحلال)**

برای کریستالیزاسیون یک گرم HBIW نسبت‌های مختلف حلال کلروفرم و متانول (۳:۴، ۲:۳، ۱:۱) مورد استفاده قرار گرفت. براساس نتایج بدست آمده، بهترین نسبت مخلوط حلال کلروفرم و متانول ۱:۱ می‌باشد. نقطه ذوب محصول HBIW خالص‌سازی شده با این روش، با محصول حاصل از روش ۱-۴-۱-۲ یکسان است.

۲-۴-۱-۲- خالص سازی HBIW در حلال اتیل استات

برای کریستالیزاسیون ۱ گرم HBIW مقدار ۲/۲ میلی‌لیتر اتیل استات مصرف شد. پس از کریستالیزاسیون رسوب روی صافی با استونیتریل سرد شستشو داده شد و کریستال‌های سفید رنگ سوزنی با بهره ۶۵ درصد بدست آمد. نقطه ذوب محصول HBIW خالص‌سازی شده با این روش، با محصول حاصل از روش ۱-۴-۱-۲ یکسان می‌باشد.

۲-۲- سنتز ۴،۱۰- دیبنزیل -۲،۶،۸،۱۲- تتراستیل -۲،۴،۶،۸،۱۰،۱۲- هگزا آزادتراسیکلو [۴.۵.۵] ۹۰۰،۹۵۳ و ۱۱۹] دودکان**(TADB)**

در یک راکتور دو لیتری از جنس فولاد ضد زنگ، مخلوطی از ۶۱۵ میلی‌لیتر دی‌متیل‌فرمamid، ۲۷۰ میلی‌لیتر استیک آنیدرید، ۱۵۰ گرم HBIW، ۳ گرم برموبنزن و ۷ گرم کاتالیزور Pd/C در دمای ۳۸-۴۲ °C به مدت ۸ ساعت تحت گاز هیدروژن با فشار ۲/۵ بار قرار گرفت. سپس مخلوط واکنش تا دمای محیط سرد شده و صاف گردید. رسوب روی صافی (محصول و کاتالیزور) توسط کلروفرم استخراج شد. محلول حاصل از استخراج تغذیه و ۸۵ گرم محصول سفیدرنگ TADB با نقطه ذوب ۳۱۵-۳۱۶ °C گزارش شده برای TADB با [۱۹] ۳۱۷ °C: ۱۹ ۳۱۷ °C و بهره ۷۸ درصد بدست آمد. طیف‌های FT-IR ¹H NMR و Mass این ترکیب دارای جذب‌های زیر می‌باشند.

FT-IR (ν , cm⁻¹): 3023 (w), 2923 (w), 2869 (w), 1653 (s), 1415 (s), 1307 (m), 1138 (s), 1000 (m), 923 (w), 815 (w), 768 (w), 707 (m), 630 (m), 507 (w).

از همزدن مخلوط واکنش به مدت یک شبانه روز در دمای محیط، جامدی در مخلوط واکنش تشکیل نگردید. به مخلوط واکنش به آرامی و در حال همزدن ۲۰ میلی‌لیتر آب یخ اضافه گردید. پس از اتمام افزایش ماده روغنی و چسبناک نارنجی رنگی تشکیل شد. پس از تبخیر مخلوط آب و THF تحت خلاء، ماده روغنی تشکیل شده در اتیل استات کریستالیزه گردید. پس از خشک کردن رسوب، ۲/۲ گرم محصول HBIW با بهره ۳۷/۵ درصد بدست آمد. محصول تهیه شده در حلال‌های اتانول و تتراهیدروفوران، نقطه ذوب و ویژگی‌های طیفی یکسانی با محصول بدست آمده در حلال استونیتریل دارد.

۲-۴-۱-۲- کریستالیزاسیون HBIW

کریستالیزاسیون HBIW در سه حلال استونیتریل، مخلوط کلروفرم-متانول و اتیل استات انجام و نتایج آن به صورت ذیل است.

۱-۴-۱-۲- خالص سازی HBIW در حلال استونیتریل

برای کریستالیزاسیون ۱ گرم HBIW مقدار ۵/۴ میلی‌لیتر استونیتریل استفاده شد. پس از کریستالیزاسیون رسوب روی صافی با استونیتریل سرد شستشو داده شد و کریستال‌های سفید رنگ سوزنی با نقطه ذوب ۱۵۳-۱۵۴ °C (نقطه ذوب گزارش شده برای HBIW [۱۹]: ۱۵۳-۱۵۷ °C) و بهره ۷۳ درصد بدست آمد. طیف‌های ¹H NMR, FT-IR و Mass این ترکیب دارای جذب‌های زیر می‌باشند.

FT-IR (ν , cm⁻¹): 3023 (m), 2938 (m), 2830 (m), 1953 (w), 1600 (w), 1453 (m), 1330 (m), 1176(s), 1130 (s), 992 (m), 923 (m), 838 (w), 738 (s), 700 (s).

¹H NMR (CDCl₃, 500MHz): δ 7.20-7.24 (m, 30H, phenyl CH); 4.16 (s, 4H, CH₂); 4.1 (s, 8H, CH₂); 4.05 (s, 4H, CH); 3.6 (s, 2H, CH) ppm.

Mass (EI, 70 ev): m/z (%): 617 (M⁺- C₆H₅CH₂-), 11.04), 5.90 (9.0), 393 (15.9), 370 (34.1), 354 (35.2), 277 (22.7), 249 (52.3), 235 (47.7), 159 (22.7), 91 (100).

نتایج آنالیز عنصری برای مولکول C₄₈H₄₈N₆ (%): محاسبه شده، C (۸۱/۳۲)، H (۸۱/۴۷)، N (۱۱/۸۵) و تجربی، C (۸۱/۸۲)، H (۸۱/۹۵)، N (۱۱/۷۶).

در دمای صفر درجه سانتیگراد به ۳۵۰ گرم مخلوطی از نیتریک اسید و سولفوریک اسید (۱:۱) به تدریج ۵۰ گرم TADF اضافه شده و مخلوط واکنش به مدت ۴ ساعت در دمای ۶۰ °C حرارت داده شد. سپس مخلوط واکنش تا دمای محیط سرد و صاف گردید و با مقدار کافی آب شستشو داده شد. پس از خشک کردن ۵۰/۹ گرم جامد سفیدرنگ CL-20 با نقطه ذوب ۲۵۸-۲۵۹ °C (نقطه ذوب گزارش شده [۸]: ۲۶۰ °C) و بهره ۹۱/۲ درصد بدست آمد. نمونه CL-20 بدست آمده دارای مقداری ناخالصی (پنتانیترومنوفر میل هگزا ایزوورتیتان) می‌باشد که با افزایش زمان واکنش نیز امکان جلوگیری از تشکیل این جزء نبود (درجه خلوص تقریباً ۹۵ درصد). پس از جداسازی نمونه با ستون کروماتوگرافی با حلal پترولیم اتر: اتیل استات (۵ به ۱) خلوص نمونه CL-20 با HPLC بیش از ۹۹ درصد گزارش گردید. طیف‌های FT-IR و ^1H NMR CL-20 (با CL-20) خالص و جزء ناخالص (دارای جذب‌های زیر می‌باشند.

هگزانیتروهگر آزایزو وورتیتان FT-IR (ν , cm^{-1}): 3053 (m), 1618 (s), 1570 (m), 1331 (s), 1267 (s), 1228 (w), 1169 (w), 1095(w), 1053 (m), 991 (w), 950 (m), 904 (w), 881 (m), 835 (w), 776 (m), 717 (m), 656 (m).

δ 8.3 (4H, s, 4CH), 8.18 (2H, s, 2CH) ppm.

FT-IR (ν , cm^{-1}): 3035 (s), 1724 (s), 1591 (s), 1429 (m), 1387 (m), 1344 (m), 1307 (m), 1279 (s), 1221 (m), 1178 (w), 1122 (m), 1081 (m), 1034 (m), 949 (m), 895 (m), 850 (w), 791 (w), 761 (m), 721 (m), 654 (m).

^1H NMR (CD_3COCD_3 , 500 MHz): δ 8.5 (1H, s, CHO), 7.7 (6H, m, 6CH).

¹H NMR (CDCl₃, 500MHz): δ 7.38-7.31 (m, 10H, Phenyl-H); 6.5 (broad s, 2H, CH); 5.43 (broad s, 4H, CH); 4.07 (s, 4H, CH₂); 2.03 (broad m, 12H, CH₃) ppm.

Mass (EI, 70 ev): m/z (%) (516 M^+ , 30.4), 389 (16.3), 363 (15.2), 255 (13.0), 171 (28.3), 153 (15.2), 111 (13.0), 91 (100), 43 (78.3)

نتایج آنالیز عنصری برای مولکول $C_{28}H_{32}N_6O_4$ (%): محاسبه شده،
 C (۶۵/۱۰)، H (۶/۴۸)، N (۶/۲۷)، O (۶/۲۴) و تجربی، C (۶۵/۲۱)، H (۶/۲۴)، N (۶/۱۱).

۳-۲- سنتز ۱۲،۸،۶،۲ - تتراستیل ۱۰،۴ - دی فرمیل ۲،۴،۶،۲
 ۱۲،۱۰،۸ - هگزا آزاتتراسیکلولو [۵،۵،۰،۰،۹۵،۰،۹۳]^{۱۱} دودکان

به مخلوطی از ۵۵ گرم TADB و Pd/C کاتالیزور درصد وزنی آن ۱۰ درصد است. میلی لیتر فرمیک اسید در دمای 40°C به مدت ۸ ساعت تحت گاز هیدروژن میلی لیتر فرمیک اسید در دمای 40°C به مدت ۸ ساعت تحت گاز هیدروژن میلی لیتر فرمیک اسید در دمای 40°C به مدت ۸ ساعت تحت گاز هیدروژن میلی لیتر فرمیک اسید در دمای 40°C به مدت ۸ ساعت تحت گاز هیدروژن با فشار ۱/۵ بار قرار گرفت. سپس مخلوط واکنش صاف و محلول زیر صافی تغليط شده و محصول جداسازی گردید. ۲۶/۴۳ گرم TADF بدست آمده دارای نقطه ذوب 118°C (نقطه ذوب گزارش شده برای TADF [۱۹]) و 120°C (نقطه ذوب گزارش شده برای ^{1}H NMR و FT-IR) و بهره $63/2$ درصد بود. طیفهای ^{1}H NMR این ترکیب دارای حذفهای زیر میباشد.

FT-IR (ν , cm^{-1}): 3023 (w), 1676 (s), 1415 (s), 1292 (m), 1169 (m), 1053 (w), 961 (m), 907 (w), 730 (w). ^1H NMR (D_2O , 500MHz): δ 8.4 (d, 2H, 2CHO); 6.7 (m, 6H, 6CH); 2.2 (m, 12H, 4COCH₃).

Mass (EI, 70 ev): m/z (%) (M^+-COCH_3 , 13.0), 307 (17.4), 265 (36.9), 224 (21.7), 194 (28.3), 123 (32.6), 112 (22.8), 70 (28.3), 43 (100).

نتایج آنالیز عنصری برای مولکول $C_{16}H_{20}N_6O_6$ (%): محاسبه شده،
 C (۴۸/۹۸)، H (۵/۱۴)، N (۲۱/۴۲) و تجربی، C (۴۸/۸۲)، H (۴/۹۵)، N (۳۱/۳۱).

۱-۴-۲- کریستالیزاسیون CL-20

طیف جرمی CL-20 خالص دارای جذب‌های زیر می‌باشد.

۱۰ گرم نمونه CL-20 تهیه شده در ۴۰ میلی‌لیتر اتیل استات حل شده و سپس به این محلول بتدريج ۱۴۰ میلی‌لیتر هپتان اضافه گردید. پس از یک ساعت همزدن، مخلوط صاف گردید.

۳. نتایج و بحث

همانطور که در شکل ۲ نیز اشاره شد، بررسی منابع علمی نشان می‌دهد که هشت روش برای سنتز CL-20 گزارش شده است و تمامی این روش‌ها با هم شروع می‌شوند. مقایسه این روش‌ها در جدول ۳ آمده است.

HBIW

Mass (EI, 70 ev): m/z (%) 438 (M^+ , 2.7), 392 (9.54), 316 (24.5), 213 (49.5), 108 (84.1), 94 (41.8), 81 (55.4), 55 (81.8), 46 (100), 30 (55.45).

بررسی پایداری حرارتی نمونه CL-20 سنتز شده با DSC یک پیک اگزوترمیک همراه با تجزیه و انفجار در ناحیه $253/72^\circ\text{C}$ نشان می‌دهد. نتایج آنالیز عنصری برای مولکول $\text{C}_6\text{H}_6\text{N}_{12}\text{O}_{12}$ (%): محاسبه شده، C (۱۶/۴۵)، H (۱۶/۵۷)، N (۳۸/۳۶) و تجربی، C (۱۶/۴۵)، H (۱۶/۵۷)، N (۳۸/۳۶).

جدول ۳- روش‌های گزارش شده برای سنتز CL-20

روش	تعداد مراحل	بهره کلی (%)	زمان کل واکنش (ساعت)	میزان سهولت دسترسی به مواد اولیه ^۱	نوع حللاهای مصرفی ^۲ و امکان بازیافت آنها ^۲	حداوسطها	پایداری	معایب روش
روش اول - سنتز HBIW - سنتز TADB - سنتز نمک دوتایی - سنتز TADF - سنتز CL-20 (نیتراسیون با HNO_3 و N_2O_5)	۵	۵۲/۵۲	۶۸/۵	تا پایان مرحله چهارم	کاتالیزور (خرید خارج)		پایدار	پنج مرحله‌ای بودن فرآیند، استفاده از عامل نیترات‌کننده N_2O_5 در مرحله نیتراسیون که تهیه و نگهداری آن مشکل می‌باشد، همچنین استفاده از واکنشگر بسیار سُمی پیریدین در مرحله چهارم برای تهیه TADF.
روش دوم - سنتز HBIW - سنتز TADB - سنتز نمک دوتایی - سنتز TADF - سنتز CL-20 (نیتراسیون با HNO_3 در دمای بالا)	۵	۴۹/۹۰	۶۸/۵		کاتالیزور (خرید خارج)		پایدار	پنج مرحله‌ای بودن فرآیند، بالا بودن دمای مرحله نیتراسیون (115°C)، استفاده از واکنشگر پیریدین.
روش سوم - سنتز HBIW - سنتز TADB - سنتز ۴TADA - سنتز CL-20	۴	۳۶/۴۸	۴۱/۵		کاتالیزور (خرید خارج)		پایدار	مرحله سوم به نتیجه نرسید.

ادامه جدول ۳

روش	تعداد مراحل	بهره کلی (%)	زمان کل واکنش (ساعت)	میزان سهولت دسترسی به مواد اولیه ^۱	نوع حلال های مصرفي و امکان بازیافت آنها ^۲	پایداری حدواتها	معایب روش
روش چهارم HBIW - سنتز TADB - سنتز TADA - سنتز ^۴ HAIW - سنتز CL-20 - سنتز	۵	تا پایان مرحله سوم ۳۶/۴۸	-	کاتالیزور (خرید خارج)	فرمیک اسید، متانول، استیک ایندرید، نیتریک اسید و سولفوریک اسید مورد استفاده در مراحل ۴، ۳ و ۵ قابل بازیافت می باشد.	پایدار	پنج مرحله ای بودن فرآیند، استفاده از واکنشگر پیریدین، و پایین بودن بهره فرآیند.
روش پنجم HBIW - سنتز TADB - سنتز ^۵ TADNO - سنتز (NOBF ₄) نیتروزاسیون توسط CL-20 - سنتز (N ₂ O ₄) نیتراسیون توسط	۴	۴۸/۸۱	۲۹	کاتالیزور NOBF ₄ و NO ₂ BF ₄ (خرید خارج)	NOBF ₄ و سولفولان قابل بازیابی می باشد.	نایپایدار	استفاده از عوامل نیتره کننده غیرمتعارف NO ₂ BF ₄ و NOBF ₄ و نایپایدار و سمی بودن حدوات.
روش ششم HBIW - سنتز TADB - سنتز TADNO (N ₂ O ₄) توسط CL-20 - سنتز (NHO ₃ /H ₂ SO ₄) نیتراسیون توسط مخلوط	۴	۴۰/۱۸	۴۶	کاتالیزور (خرید خارج)	نیتریک اسید و سولفوریک اسید مورد استفاده در مرحله ۴ قابل بازیافت می باشد.	نایپایدار	استفاده از عامل نیتره کننده N ₂ O ₄ که ساخت و تجهیز آن مشکل است و نایپایدار و سمی بودن حدوات.
روش هفتم HBIW - سنتز TADB - سنتز TADF - سنتز CL-20 - سنتز	۴	۳۳/۶۶	~۴۲	کاتالیزور (خرید خارج)	فرمیک اسید و نیتریک اسید مورد استفاده به ترتیب در مراحل ۳ و ۴ قابل بازیافت می باشد.	پایدار	روش انتخابی
روش هشتم HBIW - سنتز HAIW - سنتز ^۷ TADN - سنتز CL-20 - سنتز	۴	<۱۰	۱۳۴	کاتالیزور (خرید خارج)	نیتریک اسید و سولفوریک اسید مورد استفاده در مراحل ۳ و ۴ قابل بازیافت می باشد.	پایدار	طلایی بودن زمان واکنش و پایین بودن بهره فرآیند.

۱- از نظر خرید داخل و یا خارج

۲- در کلیه روش ها (به استثناء روش هشتم که از TADB استفاده نمی شود) حد واسط HBIW و TADB مشترک بوده و در تهیه HBIW حلال استونیتریل مورد استفاده قابل بازیافت می باشد اما در تهیه TADB امکان بازیافت DMF نمی باشد.

۳- بهره کلی و زمان واکنش بر اساس کاتالیزور بالادین استات گزارش شده است.

۴- تتراستیل دی آمین هگزا آزایزوورتیتان

۵- هگزا ستیل هگزا آزایزوورتیتان

۶- تتراستیل دی نیتروزو هگزا آزایزوورتیتان

۷- تتراستیل دی نیترو هگزا آزایزوورتیتان

تجزیه شده و محصولی بدست نیامد. در دمای کمتر از 38°C بهره واکنش خیلی کم و زمان واکنش زیاد بود. واکنش در محدوده دمایی $38\text{--}42^{\circ}\text{C}$ بهره مناسبی داشت. کنترل دما در این مرحله خیلی مهم می‌باشد، بطوریکه افزایش دما بطور آنی موجب افت بهره می‌گردد. به عنوان مثال افزایش لحظه‌ای دما تا 63°C موجب افت بهره تا $52/4$ درصد گردید. همچنین نوع کاتالیزگر مورد استفاده بر بهره تولید TADB اثر گذار است. نوع کاتالیزگرهای مورد استفاده و بهره محصول بدست آمده در جدول ۵ مقایسه شده است.

با توجه به داده‌های جدول، کاتالیزگر Pd/C (۵ درصد و مرطوب) انتخاب شد. Pd/C مرطوب نسبت به خشک اینمنی بالاتری دارد. از آنجاییکه دو گروه بنزیل باقیمانده در TADB مشکل‌تر جایگزین می‌شوند، برای تبدیل TADF به TADB از مقدار بیشتری کاتالیزگر و حلال فرمیک اسید استفاده شد.

نیتراسیون TADF و تبدیل آن به CL-20 با معرفه‌ای نیتراسیون مختلف گزارش شده که صنعتی نمی‌باشند. بنابراین مخلوط نیتریک اسید و سولفوریک اسید غلیظ برای نیتراسیون استفاده شد و بهترین نسبت ۱:۱ بدست آمد.

جدول ۴ - مقایسه نتایج کریستالیزاسیون هگزا‌ایزوورتریتان در حلال‌های مورد استفاده

بهره کریستالیزاسیون (%)	نوع حلال (مقدار میلی‌لیتر)
۷۳	استونیتریل (۵۴/۵)
۶۵	اتیل استات (۲/۲)
۶۳/۳	کلروفرم / متانول (۱۰:۱۵)
۶۹/۸	(۱۵:۲۰)
۷۳/۶	(۱۰:۱۰)

جدول ۵ - اثر نوع کاتالیزگر بر روی بهره واکنش

بهره (%)	کاتالیزور
۷۷/۹۸	(۵ درصد و مرطوب) Pd/C
۸۲	(۵ درصد و خشک) Pd/C
۴۰	(۱۰ درصد و مرطوب) Pd/C
۶۰	(۱۰ درصد و خشک) Pd/C
۶۵	Pd(OH) ₂

براساس اطلاعات مندرج در جدول از بین روش‌هایی که برای سنتز CL-20 گزارش شده، با توجه به بهره، میزان سهولت انجام واکنش، دسترسی به مواد اولیه، میزان عملی بودن روش کار، سمیت حدواسطها و مواد مورد استفاده، زمان واکنش و تعداد مراحل، روش سوم و هفتم جهت امکان‌سنجی انتخاب و مورد بررسی قرار گرفت. اما بدليل به نتیجه نرسیدن مرحله سوم در روش سوم، روش هفتم برای تکرار و بهینه‌سازی شرایط و بهره مراحل انتخاب گردید.

سنتز HBIW در حلال استونیتریل با بهره $71/7$ درصد گزارش شده است [۱]. در بهینه‌سازی سنتز این ترکیب سعی شد که حلال صنعتی مناسب‌تری استفاده شود بنابراین آزمایش در دو حلال اتانول و تتراهیدروفوران نیز انجام شد ولی بهره واکنش مناسب نبوده و جداسازی محصول از حلال تتراهیدروفوران مشکل بود. لذا حلال سنتز این حدواسط همان استونیتریل انتخاب گردید.

کریستالیزاسیون HBIW نیز در حلال استونیتریل انجام شده است [۱]. از معایب این روش استفاده از مقدار زیاد حلال می‌باشد (به ازای 100 گرم HBIW، 5450 میلی لیتر استونیتریل). بنابراین سعی شد حلال مناسب‌تری انتخاب شود در این راستا اتیل استات و مخلوط کلروفرم - متانول استفاده شد. نتایج بدست آمده در جدول ۴ مقایسه شده است.

با مقایسه مقدار حلال مصرفی، قیمت، سمیت و بهره کریستالیزاسیون، حلال اتیل استات به عنوان یک حلال مناسب برای کریستالیزاسیون HBIW انتخاب گردید.

از آنجاییکه نیتراسیون مستقیم HBIW به CL-20 بنتیجه بوده است و منجر به باز شدن حلقه‌ها و نیتراسیون حلقه‌های فنیل شده است گروه‌های بنزیل با استیل جایگزین می‌شوند که راحت‌تر نیتراسیون انجام گردد. شش گروه بنزیل در HBIW یکسان نبوده و در شرایط یکسان جایگزین نمی‌شوند. بنابراین ابتدا چهار گروه بنزیل در موقعیت‌های ۲، ۶، ۸ و ۱۲ با استیل جایگزین می‌گردد و TADB بدست می‌آید. متأسفانه نیتراسیون CL-20 نیز بنتیجه بوده و حلقه‌های فنیل نیتره می‌شوند.

بنابراین دو گروه بنزیل باقیمانده با گروه فرمیل جایگزین شده است. دومین مرحله فرآیند سنتز TADB می‌باشد. دمای گزارش شده برای انجام این واکنش $55\text{--}60^{\circ}\text{C}$ است. تلاش در جهت سنتز TADB در این دما طی چندین آزمایش بنتیجه ماند و از آنجاییکه ماده اولیه از بین می‌رفت و قابل بازیابی نبود مشخص شد که در این دما HBIW تجزیه می‌شود. بنابراین واکنش در چندین دما انجام شد. در دمای بالاتر از 45°C ماده اولیه

روش جهت امکان سنجی انتخاب و طی چهار مرحله CL-20 با بهره ۳۲/۲۴ سنتز و نتایج ذیل بدست آمد.

۱- در اولین مرحله پس از سنتز HBIW، حلال اتیل استات برای کریستالیزاسیون این ماده جایگزین استونیتریل شد.

۲- در دومین مرحله فرآیند یعنی سنتز TADB، با توجه به اهمیت کنترل دمایی، واکنش در محدوده دمایی $38\text{--}42^\circ\text{C}$ و در حضور کاتالیزگر Pd/C (۵ درصد و مرتبط) با بهره مناسبی انجام شد.

۳- از آنجاییکه دو گروه بنزیل باقیمانده در TADB مشکل تر جایگزین می‌شوند، در سومین مرحله، برای تبدیل TADB به TADF از مقدار بیشتری کاتالیزگر و حلال فرمیک اسید استفاده شد.

۴- در مرحله چهارم، نیتراسیون TADF و تبدیل آن به CL-20 با مخلوط نیتریک اسید و سولفوریک اسید غلیظ انجام شد و بهترین نسبت ۱:۱ بدست آمد.

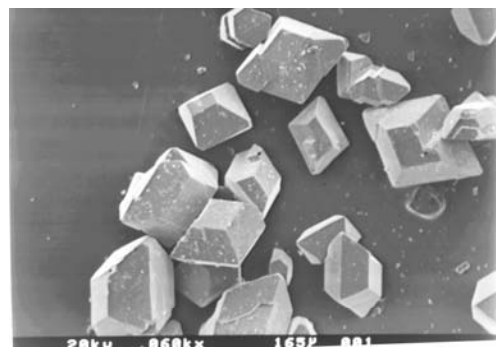
۵- کلیه حدواتها و همچنین ترکیب CL-20 با روش‌های اسپکتروسکوپی Mass, ^1H NMR, FT-IR آنالیز عنصری شناسایی و تأیید شدند.

در مرحله کریستالیزاسیون از روش حلال - ضدحال استفاده شد که تصویر میکروسکوپ الکترونی مؤید شکل ۳-CL-20 است که ساختار ارتورمبیک دارد و تصویر کریستالی آن در شکل ۳ آمده است. با توجه به نتایج SEM دانه‌بندی بلورهای CL-20 بدست آمده در این روش حدود ۷۰۰ نانومتر تعیین گردید. نمودار توزیع اندازه ذرات CL-20 بر حسب درصد مولی با استفاده از عکس‌های SEM و نرمافزار Measurement رسم شده و در شکل ۴ آمده است.

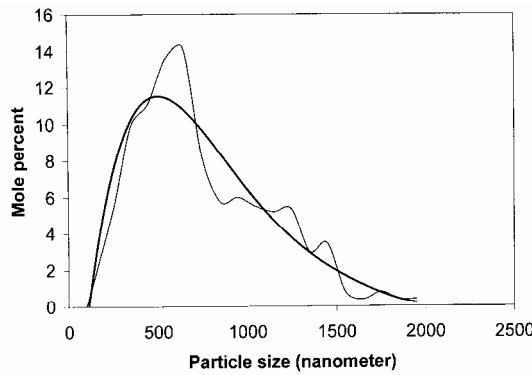
نمودار جعبه‌ای مراحل سنتز CL-20 در شکل ۵ آمده است.

۴. نتیجه‌گیری

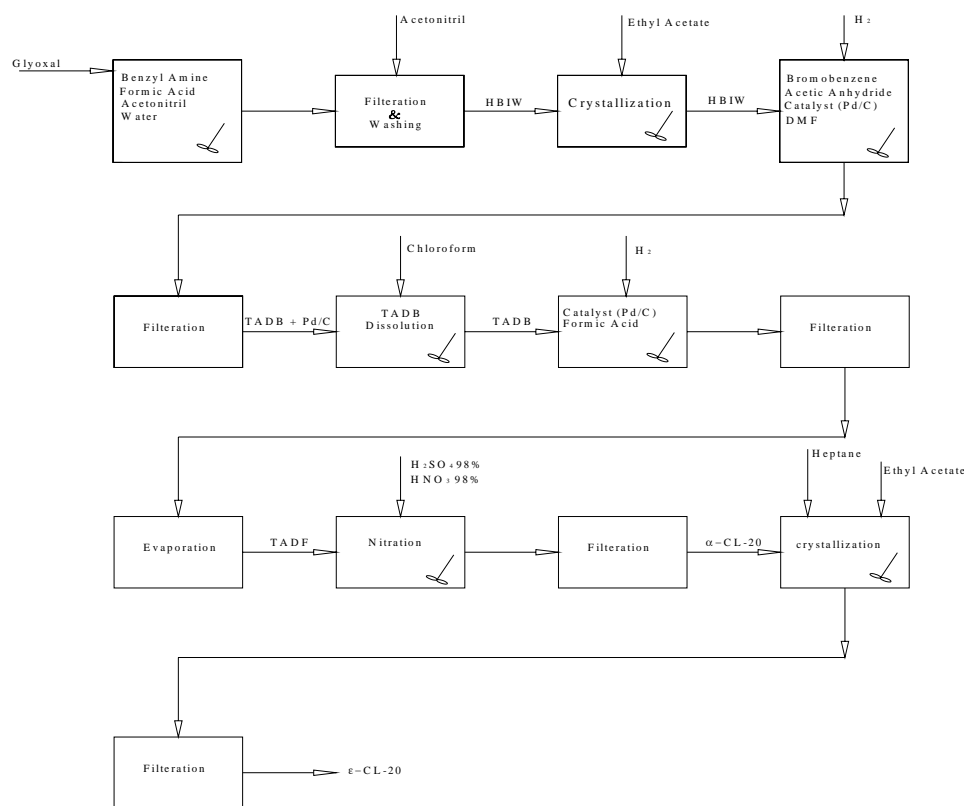
قوی‌ترین ماده منفجره شناخته شده است که تولید و کاربرد آن می‌تواند فصل جدیدی را در صنعت نظامی ایران باز نماید. در این مقاله ضمن بررسی کلیه روش‌های گزارش شده، با توجه به بهره، میزان سهولت انجام واکنش، دسترسی به مواد اولیه، میزان عملی بودن روش کار، سمیت حدواتها و مواد مورد استفاده، زمان واکنش و تعداد مراحل، مناسب‌ترین



شکل ۳- تصویر کریستالی CL-20



شکل ۴- نمودار توزیع اندازه ذرات CL-20 بر حسب درصد مولی



شکل ۵- نمودار جعبه‌ای مراحل مختلف سنتز CL-20

۵. مراجع

- [1]. Nielsen, A. T. , Nissan, R. A., Vanderah, D. J., Coon, C. L., Gilardi, R. D., George, C. F., Flippen-Anderson, J. "Polyazacyclic by Condensation of Aldehydes with Amines Formation of Hexabenzyl hexaazatetracyclododecane from Glyoxal and Benzylamine " *J. Org. Chem.*, Vol. 55 , 1459 (1990).
- [2]. Wardle, R. B. and Hinshaw, J. C. "Method for Making New Polycyclic Polyamides as Precursors for Energetic Polycyclic Polynitramine Oxidizers" US Patent 6 147 209 (2000).
- [3]. Duddu, R. G. and Dave, P. R. " Processes and Compositions for Nitration of N- substituted Isowurtzitane Compounds with Concentrated Nitric Acid at Elevated Temperatures to Form HNIW and Recovery of γ-HNIW with High Yields and Purities" US Patent 6 015 898 (2000).
- [4]. Xinqi, Z. and Juan, L. "Structural Characterization of Monoacetylpentanitrohexaaza- isowurtzitane" *Chinese Science Bulletin*, Vol. 42, No. 12, 1055 (1997).
- [5]. Bourasseau, S. "A Systematic Procedure for Estimating the Standard Heats of Formation in the Condensed State of Non Aromatic Polynitro Compounds" *J. Energetic Materials*, Vol. 8, 378 (1990).
- [6]. Torry, S., Cunliffe, A., "Polymorphism and Solubility of CL-20 in Plasticisers and Polymers", *Energetic Materials 31st International Annual Conference of ICT 27-30 June*, 107/1 (2000).
- [7]. Nielsen, A. T., Chafin, A. P., Christian, S. L., Moore, D. W., Nadler, M. P., Nissan, R. A., Vanderah, D. J. "Synthesis of Polyazapolycyclic Caged Polynitramines" *Tetrahedron*, Vol. 54, 11793 (1998).
- [8]. Nielsen, A. T. "Caged Polynitramine Compounds" US Patent 5 693 794 (1997).
- [9]. Hamilton, R. S. "Crystallization of 2,4,6,8,10,12- Hexanitro-2,4,6,8,10,12- Hexaazatetracyclo[5.5.0.0^{5,9}.0^{3,11}] Dodecane", US Patent 2003/0130503 (2003).

- [10]. Johnston, H. E. and Wardle, R. B., "Process of Crystallizing 2,4,6,8,10,12-Hexanitro-2,4,6,8,10,12-Hexaazatetracyclo[5.5.0.0^{5,9}.0^{3,11}] Dodecane", US Patent 5 874 574 (1999).
- [11]. Bescond, P., Graindorge, H., Mace, H., "Process for Producing the Epsilon Polymorphic form of Hexanitrohexaazaisowurtzitane", US Patent 5 973 149 (1999).
- [12]. Lee, K. E. "Performance of Composition C-4 Explosive" WO 02/076911 (2002).
- [13]. Lieb, R., Moy, S., Hartwell, J., Juhasz, A., Manning, T., Strauss, B., Prezelski, J. "High Energy Thermoplastic Elastomer Propellant" WO 9821168 (1998).
- [14]. Chan, M. L., Bui-Dung, Q. T., Hennings, G. N., Reynolds, T. L., Reynolds, R. K., Ladika, M. D. "Low Energy Initiated Explosive" US Patent 2002/00779030 (2002).
- [15]. Chan, M. L. and Turner, A. D. "Insensitive High Energy Booster Propellant" US Patent 2002/0166612 (2002).
- [16]. Mezger, M. J., Nicolich, S. M., Geiss, D. A., Hatch, R. L. and Lee, K. E., "Performance and Hazard Characterization of CL-20 Formulations", 30th International Annual Conference of ICT ,4/1, (1999).
- [17]. Balas, W., Nicolich, S., capellos, C., Hatch, R., Akester, J. and Lee, K. E., "CL-20 PAX Explosives Formulation Development, Characterization, and Testing", NIDA IM/EM Technical Symposium, (2003).
- [18]. Finck, B., Lefumeux, A., "Pyrotechnic Compositions Generating Clean and Nontoxic Gases, Containing Thermoplastic Elastomer Binder", US Patent 5, 525, 171 (1996).
- [19]. Yuxiang, O., Huiping, J., Yongjiang, X., Boren, C., Gungyu, F., Linhue, L., Fuping, Z., Zelin, P. and Cai, W., "Synthesis and Crystal Structure of β- Hexanitrohexaazaisowurtzitane", Science in China, Vol. 42, 217 (1999).